

文章编号: 1000-2472(2001)02-0035-05

三菱 PLC 在刨床数控系统上的应用^{*}

杨鼎强¹, 谭怀亮²

(1. 湖南大学计算机科学系, 湖南 长沙 410082; 2. 中南大学机电工程学院, 湖南 长沙 410083)

摘要: 利用日本三菱 PLC 定位控制单元的特点, 研制了特形面数控刨床系统, 相比传统的单片机控制系统, 既简化了机床结构和控制系统, 又简化了用户的编程工作, 使系统的稳定性和灵活性得到了提高.

关键词: 三菱 PLC 定位控制单元; 数控系统; 特形面数控刨床; 驱动系统

中图分类号: TG502.35

文献标识码: A

Application of MITSUBISHI PLC in NC Control System About Specific Shape Planer

Yang Dingqiang¹, Tan Huiliang²

(1. Dept of Computer Science, Hunan Univ, Changsha 410082, China;

2. Mid-south Industrial Univ Mechanical Electrical Engineering Academic, Changsha 410083, China)

Abstract: A new type of NC control system for specific shape planer was developed with MITSUBISHI PLC positioning control unit. Compared with single-chip microcomputer system, the result shows not only the machine tool structure and the control system is simple, but also the user's programming is easy, reliable and flexible.

Key words: MITSUBISHI positioning control unit; NC controls system; specific shape NC planer; drive system

现代许多机电行业已广泛运用定位单元进行控制, 如 X-Y 工作台控制、回转工作台控制、进给控制、同步进给控制、辊道送进控制、复杂轨道运动控制等. 究其控制形式主要有直线插补、圆弧插补、等速轨道控制、高速高精度轨道运算、速度切换控制、速度、位置控制、定尺送进等. 所有这些控制要求都可以采用不同档次的 PLC 有关控制单元或模块构成系统, 以求得技术上先进、经济上合理的解决方案.

作者利用日本三菱电机公司的 PLC 定位控制单元, 开发了特形面数控刨床数控系统.

1 特形面数控刨床及其驱动系统

数控刨床加工对象为由圆弧、直线和过渡圆角形成的特形面, 带有一定的锥度: 即由一定的锥面和斜面组成, 该特形面沿轴线方向的发生线仍是直线, 不同于一般的三维曲面。加工时, 刀具作快速直线运动来扫描工件表面, 就可加工出模板特形面, 采用刨削加工, 既能用简单刀具实现高效切削(与铣床方式相比), 又能简化机床结构。数控刨床工作循环与普通刨床相同, 即间歇进给-刨削行程-返回行程, 不同的是要求 X (刨削方向)、 Y (水平进给方向)、 Z (垂直进给方向)三坐标联动。

以加工锥面为例, 设从大头刨到小头, 如图1所示, 间歇进给时, Y , Z 两方向作圆弧插补移动一个进给量 F (mm), 刨削行程时, X , Y , Z 需同时运动, 各个运动速度必须满足下列关系:

$$\begin{cases} V_Y = -V_x \epsilon \cos \alpha = V_x \epsilon Y/R \\ V_Z = -V_x \epsilon \sin \alpha = V_x \epsilon Z/R \end{cases} \quad (1)$$

式(1)中, V_x , V_y , V_z 为三个坐标方向刀具-工件的相对运动速度; Y , Z 为切削起点位置相对圆心的坐标; α 为切削起点位置法线方向与 Y 轴的夹角; R 为切削起点位置的半径; ϵ 为锥面斜度。负数表示运动方向与坐标方向相反

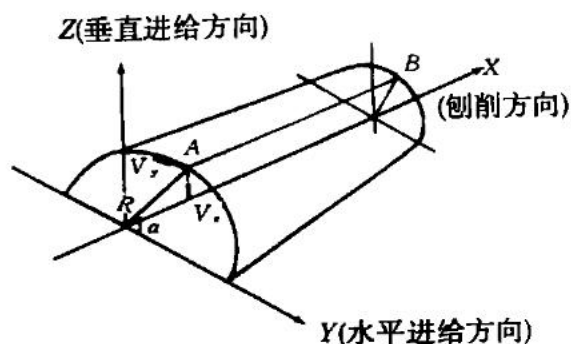


图1 加工带锥度的锥面

由小头刨向大头时, 式(1)中负号改为正号, 刨削一个斜面时, 式(1)同样适用, 只是其中 α 角为常值。刨床数控系统自动控制 X , Y , Z 的同步运动速度, 即可以加工出锥度来。

为了保证三个方向的速度维持式(1)所要求的关系, 机床数控系统每个工作行程均自动检测刨削速度, 并将前一行程的刨削速度作为当前行程的刨削速度 V_x , 通过式(1)计算出相应的 V_y 和 V_z 来控制刀具-工件的相对运动, 这样将刨削行程这个三坐标联动控制问题转化为两坐标控制, 既简化了机床结构和控制系统, 又简化了用户应用程序的编制工作, 用户编程时, 不需考虑锥度带来的复杂性, 可象加工柱面一样地进行编程。

刨床传动系统是由主运动 X 轴, 水平进给运动 Y 轴和垂直进给运动 Z 轴三根坐标轴组成, 经控制系统控制, 由三根轴执行刀具与工件的相对切削运动, 完成特形曲面的三维切削运动。 X 轴, Y 轴, Z 轴的动作分别由工作台、横刀架、垂直刀架实现, 其中工作台往复运动 X 轴为油缸执行, 由调整普通调速阀实现某一非恒速往返运动。整个切削过程中, X 轴的恒速运动不变, 加工特形曲面上的任意一点, 是靠 Y 轴、 Z 轴联动来满足 X 轴的恒速运动, 而完成三维曲面加工。工作台侧面装有两套光电信号发生器与接收器, 由检测两信号发生器之间的时间差算出工作台的运动速度, 该匀速运动为整个曲面切削运动的依据, 用 Y 轴, Z 轴插补方式来满足被加工件的三维曲面加工。

进给运动的 Y 轴和 Z 轴均由伺服电机带动滚珠丝杠执行, Y 轴与 Z 轴为伺服进给轴, 参与直线插补与圆弧插补运动。本开发中选用三菱交流伺服系统(MEESERVO-J)两

套,分别用于驱动Y轴和Z轴。伺服系统由驱动放大器(AC伺服放大器),驱动马达(AC伺服马达),检测器组成。

2 控制系统硬件设计

数控刨床控制系统主要由一台日本三菱电机公司FX系列小型可编程控制器FX2-48MT,一台FX-20GM两轴定位单元,两套交流伺服系统组成,其系统框图如图2所示。

图2 中 FX-20GM 作为

智能化的定位控制器按用户编制的定位程序向驱动器发出定位脉冲、运行方向等信号。驱动器按这些控制信号驱动伺服电机带动滚珠丝杠进行定位。对于步进电机,只有零位信号反馈给 FX-20GM,对于伺服电机,则有伺服准备、伺服结束和零位

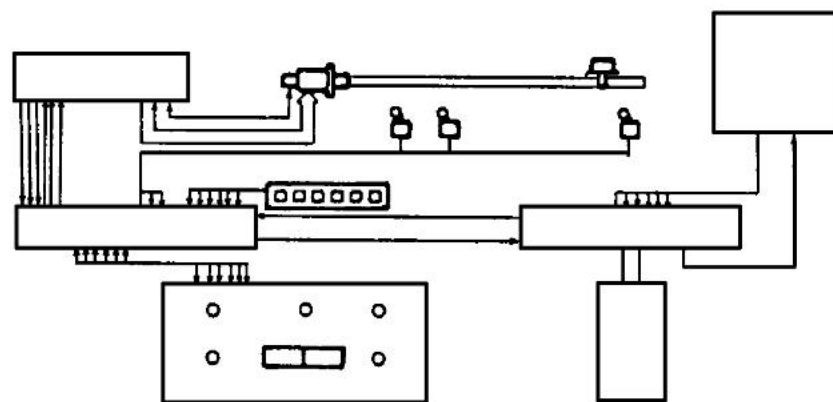


图2 控制系统框图(一轴)

三个信号反馈。外部设定用数字开关可将定位点位置和速度等数值送入定位单元,定位单元通过总线连接到FX或FX2c系列PLC上,成为PLC控制系统中的定位智能控制环节。在定位单元内,常量的设置与监控、参数的改变可以通过使用连接到PLC上的数据存取单元(FX-10DU,FX-20DU,FX-30DU,FX-40DU,FX-40DU-TK等)完成。因此可以在运行过程中由PLC指定段号,传送定位速度等数据,并在PLC中监视GM的实时定位信号及运行或停止状态。

在PLC和FX-20GM之间的数据通讯被FROM/TO指令控制,在FX-20GM中有专门用于通讯的缓冲存储器并给予编号(BFM),相应地在PLC中分配有输入继电器,输出继电器,辅助继电器,以及特殊辅助继电器等设备。

使用TO指令从PLC的数据寄存器传送数据到FX-20GM的数据设备中,使用FROM指令从FX-20GM设备中传送数据到PLC的数据寄存器中。

在PLC的输入输出点上接有起动、停止、左右限行程开关、工作台两侧光电传感器(光眼)输入信号以及控制油缸换相的左右电磁铁充断电的逻辑电路。系统初始工作时,启动PLC,系统处于机械原点处,并指定电器原点,且工作台处于工件左端位。由操作盘启动FX-20GM定位单元(PGU),PGU执行定位控制程序,当执行到M代码控制指令时,PGU产生M代码等待,M代码输出和M代码“ON”信号被置入特殊的数据寄存器和特殊继电器中,这些信号通过FROM/TO指令被送到PLC中指定的数据寄存器和辅助继电器中。PLC解码处理M代码输出,并闭合液压系统控制阀右电磁铁使油缸运动,带动工作台水平向右作切削运动。

当工作台水平运动到隔断光电传感器信号的瞬间,PLC启动定时器开始计时,并驱动

下一条直线或圆弧插补指令, Y 和 Z 轴以一定的矢量速度从小端面始点插补到大端面终点, 与此同时, X 轴方面继续运动, 当光眼从断开到闭合的瞬间, 定时器停止记时, 二轴插补亦完成. X 轴继续运动当撞到右端行程开关时, 控制阀电磁铁停电, 工作台水平运动停止.

PGU 完成抬刀后, 执行 M 代码等待, PLC 接受 M 代码并解码, 驱动工作台向左运动, 撞击左端行程开关, 产生 M 代码 OFF 命令, 使 PGU 执行下一条语句, 且工作台运动停止于左端, 回到工作初态. PGU 完成降刀并判终, 如果未终, 则计算下一次始点坐标和终点坐标, 并接收行程时间, 计算出下一次的矢量速度, 并调整相关的数据寄存器, 然后驱动刀具定位于下一次始点坐标处, 执行 M 代码等待, 这样完成一个工作循环.

按下停止键, 在当前的工作周期处理完毕后, 才停止工作.

3 软件实现

控制系统软件主要由两大部分组成: PLC 控制程序和 PGU 定位程序, 其结构框图分别如图 3, 图 4 所示.

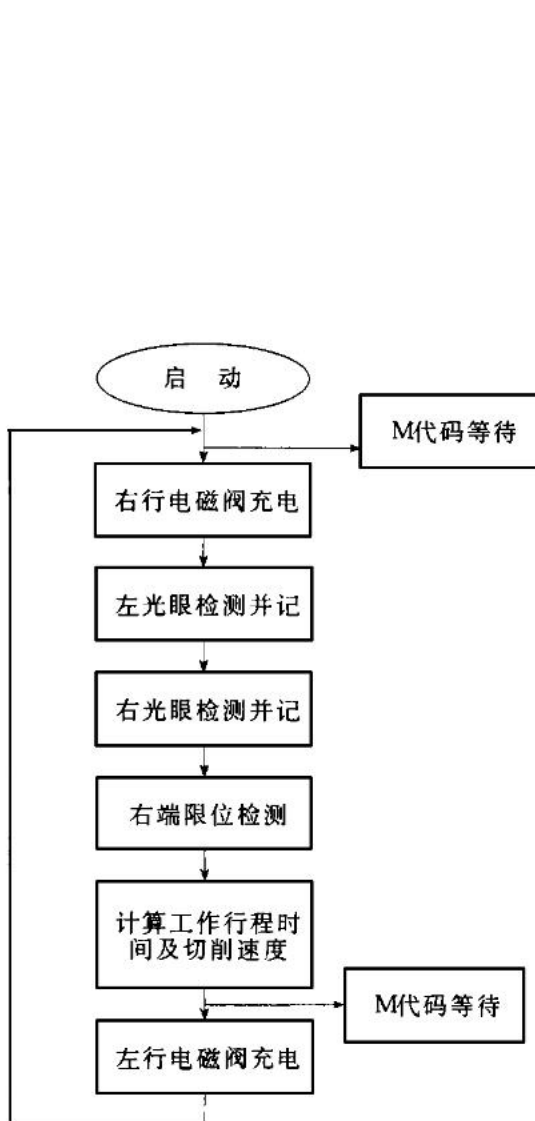


图 3 PLC 控制程序框图

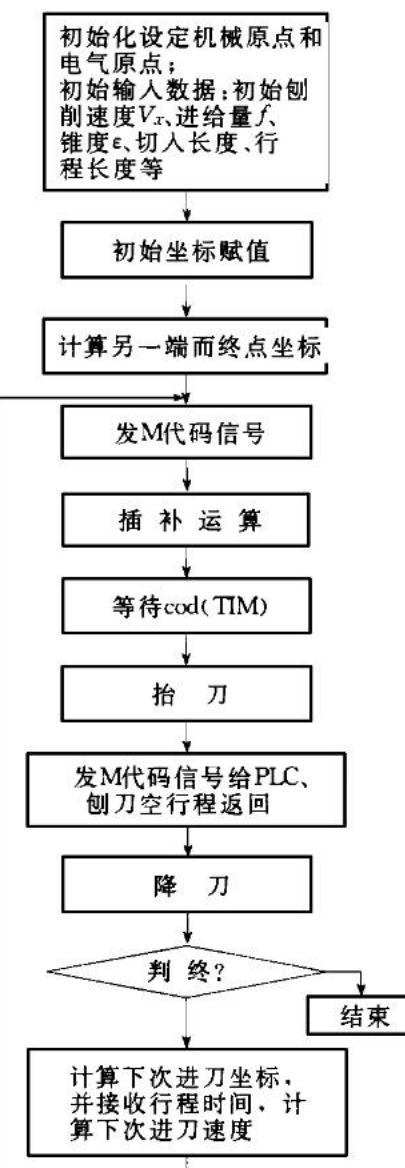


图 4 PGU 定位程序框图

4 结语

通过对上述刨床数控系统的设计、开发,我们看到定位控制单元或模块应用于机床数控系统中,具有编程方便、使用调度灵活、性能可靠等优点。相比传统的单片机控制系统,简化了机床结构和控制系统,系统的可靠性和灵活性大为提高,该系统已在某厂投入运行,获得好评。

参考文献:

- [1] 常斗南,王建琪,李全利.编程序控制器原理[M].北京:机械工业出版社,1997.
- [2] 涂时亮,张友德.单片微机控制技术[M].上海:复旦大学出版社,1994.

(上接第20页)

- sicum frutescens) with clormazone and rimsulfuron weed technol[J]. Weed Technol, 1998, 12: 458.
- [5] AWAYA A, NAKANO T, KOBAYASHI H, et al. Preparation of 2-(1-piperazinyl)pyrimidines as agent for treating neuropathy[P]. WO: 8704928, 1987.
- [6] CORBERA A J, VANO D D, FRIGOLA C J. Acylpiperazinylpyrimidines with pharmacological activity[P]. WO: 9905121, 1999.
- [7] ELDERFIELD R C, PRASAD R N. Synthesis of potential anticancer agents. (IV): Synthesis of certain substituted amino- and aziridinopyrimidines[J]. J Org Chem, 1960, 25: 1583.
- [8] BANKS C K. Arylaminoheterocyclic compounds, (I): synthetic method[J]. J Am Chem Soc, 1944, 66: 1127.
- [9] BANKS C K. Arylaminoheterocycles, (II): arylaminopyrimidines[J]. J Am Chem Soc, 1944, 66: 1131.
- [10] PERKIN W H, RILEY G C. Derivatives of tetrahydrocarbazole[J]. J Chem Soc, 1923, 123: 2399.
- [11] HAMER J, HOLLIDAY R E. On the reduction of quinoxaline[J]. J Org Chem, 1963, 28: 2488.
- [12] BUGLE R C, OSTER YOUNG R A. Reduction of azanaphthalenes by sodium borohydride in trifluoroacetic acid[J]. J Org Chem, 1979, 44: 1719.
- [13] WATANABE Y, OHTA T, TSUJI Y, et al. Ruthenium catalyzed reduction of nitroarenes and azaaromatic compounds using formic acid[J]. Bull Chem Soc Jpn, 1984, 57: 2440.